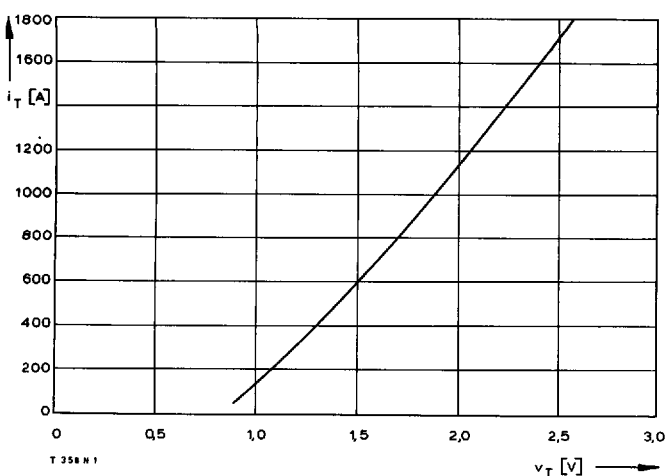
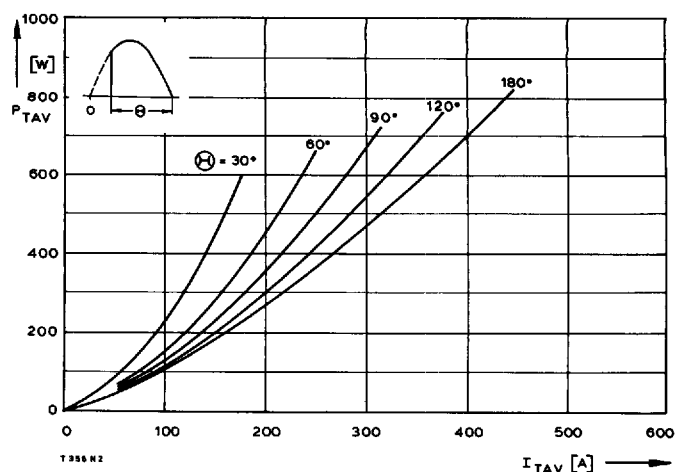


Type range	T 358 N	400*	600	800	1000	1100	1200	1400	1600	1800*
<b>Elektrische Eigenschaften</b>	<b>Electrical properties</b>									
<b>Höchstzulässige Werte</b>	<b>Maximum permissible values</b>									
$V_{DRM}$ , $V_{RRM}$ Periodische Vorwärts- und Rückwärts-SpitzenSperrspannung	repetitive peak forward off-state and reverse voltages								400...1800	V
$I_{TRMSM}$ Effektiver Durchlaßstrom	RMS on-state current								700	A
$I_{TAVM}$ Dauergrenzstrom	average on-state current								358	A
$I_{TRM}$ Periodischer Spitzenstrom	repetitive peak on-state current								445	A
$I_{TSM}$ Stoßstrom-Grenzwert	surge current								4200	A
$\int i^2 dt$ Grenzlastintegral	$\int i^2 dt$ -value								5200	A
$(di/dt)_{cr}$ Kritische Stromsteilheit	critical rate of rise of on-state current								4600	A
$(dv/dt)_{cr}$ Kritische Spannungssteilheit	critical rate of rise of off-state voltage								135000	A <sup>2</sup> s
									106000	A <sup>2</sup> s
									nicht periodisch/non repetitive	800 A/ $\mu$ s
									Dauerbetrieb/continuous operation, $I_{TM} = 1200$ A,	150 A/ $\mu$ s
									$v_L = 10$ V, $i_g = 1$ A, $di_g/dt = 1$ A/ $\mu$ s	
									$v_D = 67\% V_{DRM}$ , $t_{vj} = t_{vj \max}$	
									5. Kennbuchstabe/5th letter C	400 V/ $\mu$ s
									5. Kennbuchstabe/5th letter F	1000 V/ $\mu$ s
<b>Charakteristische Werte</b>	<b>Characteristic values</b>									
$V_T$ Obere Durchlaßspannung	max. on-state voltage									2,07 V
$V_{(TO)}$ Schleusenspannung	threshold voltage									0,85 V
$r_T$ Ersatzwiderstand	slope resistance									0,9 m $\Omega$
$V_{GT}$ Obere Zündspannung	max. gate trigger voltage									2 V
$I_{GT}$ Oberer Zündstrom	max. gate trigger current									200 mA
$I_{ZU}$ Unterer Zündstrom	min. gate trigger current									10 mA
$I_H$ Oberer Haltestrom	max. holding current									300 mA
$I_L$ Oberer Einraststrom	max. latching current									1,2 A
$I_D$ , $I_R$ Oberer Vorwärts- und Rückwärts-Sperrstrom	max. forward off-state and reverse currents									50 mA
$t_{gd}$ Oberer Zündverzug	max. gate controlled delay time									3 $\mu$ s
$t_q$ Typische Freiwerdezeit	typical turn-off time									250 $\mu$ s
$C_{null}$ Typische Nullkapazität	typical zero capacitance									4 nF
<b>Thermische Eigenschaften</b>	<b>Thermal properties</b>									
$R_{thJC}$ Innerer Wärmewiderstand für beidseitige Kühlung	thermal resistance, junction to case for two-sided cooling									$\leq 0,068^\circ\text{C}/\text{W}$
$R_{thJC(A)}$ für anodenseitige Kühlung	for anode-sided cooling									$\leq 0,065^\circ\text{C}/\text{W}$
$R_{thJC(K)}$ für kathodenseitige Kühlung	for cathode-sided cooling									$\leq 0,113^\circ\text{C}/\text{W}$
$R_{thCK}$ Wärmewiderstand für einen Übergang zwischen Gehäuse und Kühlkörper	single sided thermal resistance, case to heatsink									$\leq 0,11^\circ\text{C}/\text{W}$
$t_{vj \max}$ Höchstzul. Sperrsichttemperatur	max. junction temperature									0,03 °C/W
$t_{vj op}$ Betriebstemperatur	operating temperature									125°C
$t_{stg}$ Lagertemperatur	storage temperature									– 40°C...+125°C
										– 40°C...+140°C
<b>Mechanische Eigenschaften</b>	<b>Mechanical properties</b>									
$G$ Gewicht	weight									70 g
$F$ Anpreßkraft	clamping force									4...6 kN
Maßbild	outline									Seite/page 240
Kriechstrecke	creepage distance									17 mm
FeuchtekLASSE	humidity classification									C
Schüttelfestigkeit	vibration resistance									5x9,81 m/s <sup>2</sup>

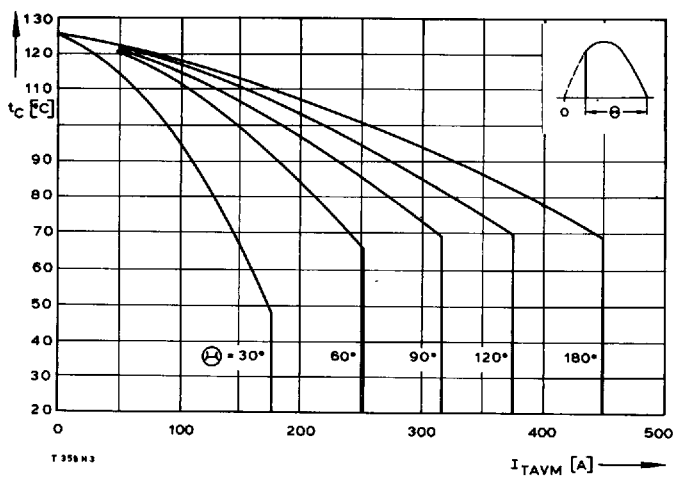
\* Für größere Stückzahlen bitte Liefertermin erfragen/Delivery for larger quantities on request



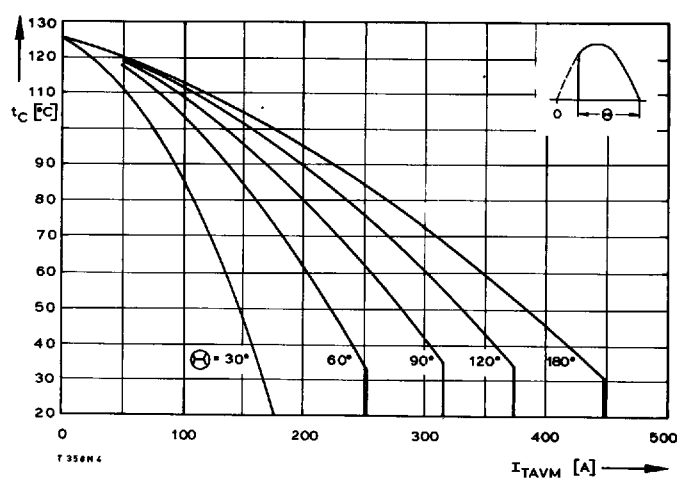
Bild/Fig. 1  
 Grenzdurchlaßkennlinie bei  $t_{vj,\max}$   
 Max. on-state characteristic at  $t_{vj,\max}$



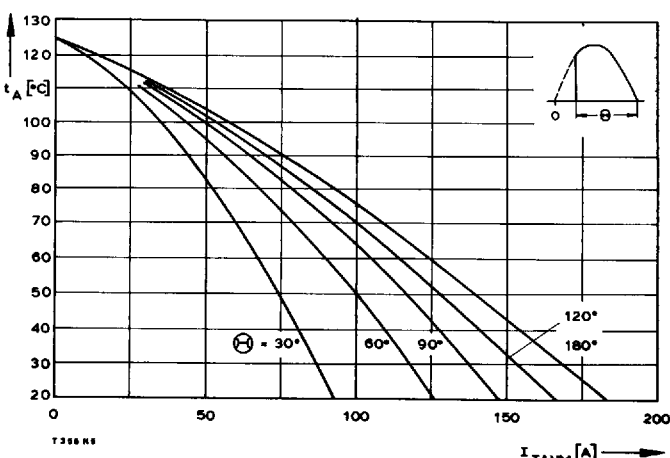
Bild/Fig. 2  
 Durchlaßverlustleistung  $P_{TAV}$ /On-state power loss  $P_{TAV}$   
 Parameter: Stromflußwinkel  $\theta$ /current conduction angle  $\theta$



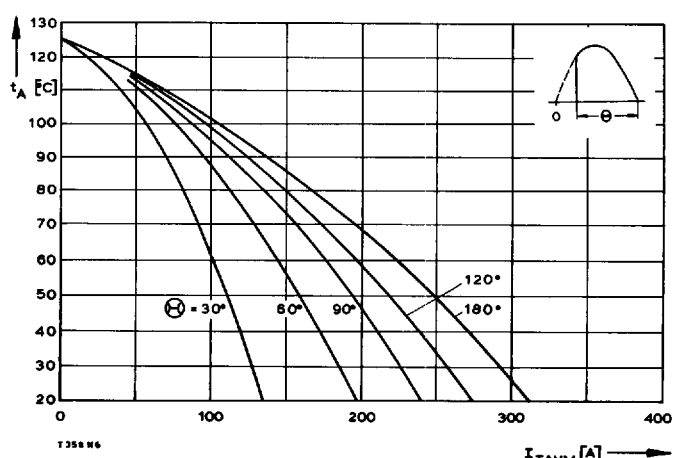
Bild/Fig. 3  
 Höchstzulässige Gehäusetemperatur  $t_c$  bei beidseitiger Kühlung  
 Maximum allowable case temperature  $t_c$  at two-sided cooling



Bild/Fig. 4  
 Höchstzulässige Gehäusetemperatur  $t_c$  bei anodenseitiger Kühlung  
 Maximum allowable case temperature  $t_c$  at anode sided cooling



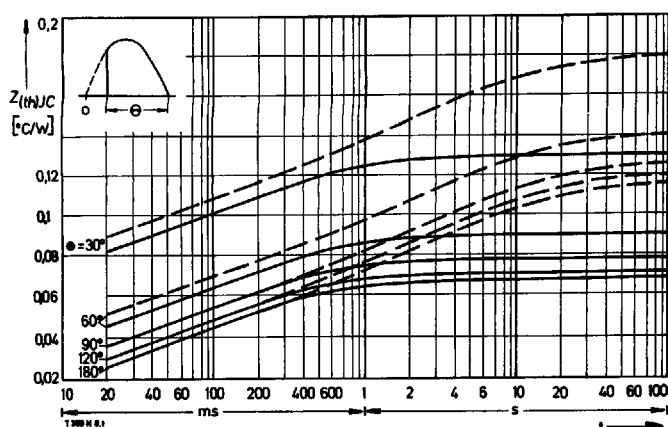
Bild/Fig. 5  
 Höchstzulässige Kühlmittelttemperatur  $t_A$  bei beidseitiger Luftselbstkühlung,  
 Kühlkörper K 0,36 S.  
 Maximum allowable cooling medium temperature  $t_A$  at natural two-sided cooling,  
 heatsink type K 0.36 S.



Bild/Fig. 6  
 Höchstzulässige Kühlmittelttemperatur  $t_A$  bei verstärkter beidseitiger Luftkühlung,  
 Kühlkörper K 0,12 F,  $V_L = 50$  l/s.  
 Maximum allowable cooling medium temperature  $t_A$  at forced two-sided cooling,  
 heatsink type K 0.12 F,  $V_L = 50$  l/s.

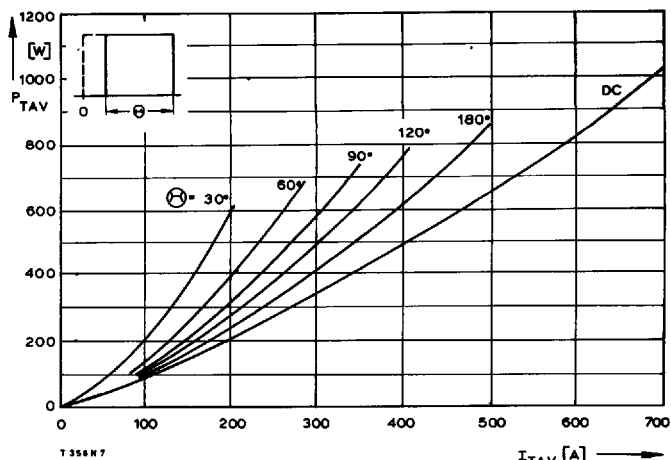
T 358 N

T-25-19



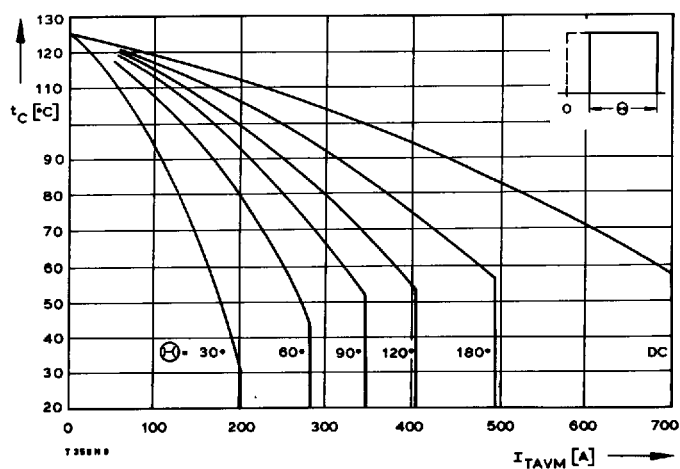
Bild/Fig. 7

Transienter innerer Wärmewiderstand  $Z_{(th),JC}$   
Transient thermal impedance, junction case,  $Z_{(th),JC}$   
--- anodenseitige Kühlung/anode sided cooling  
— beidseitige Kühlung/two-sided cooling



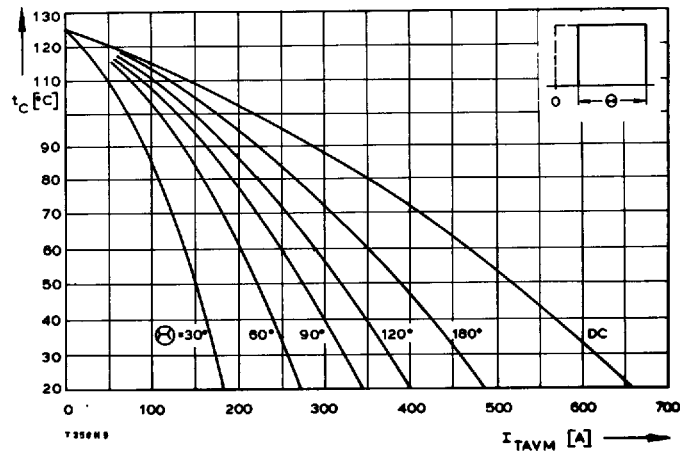
Bild/Fig. 8

Durchlaßverlustleistung  $P_{TAV}$ /On-state power loss  $P_{TAV}$   
Parameter: Stromflußwinkel  $\theta$ /current conduction angle  $\theta$



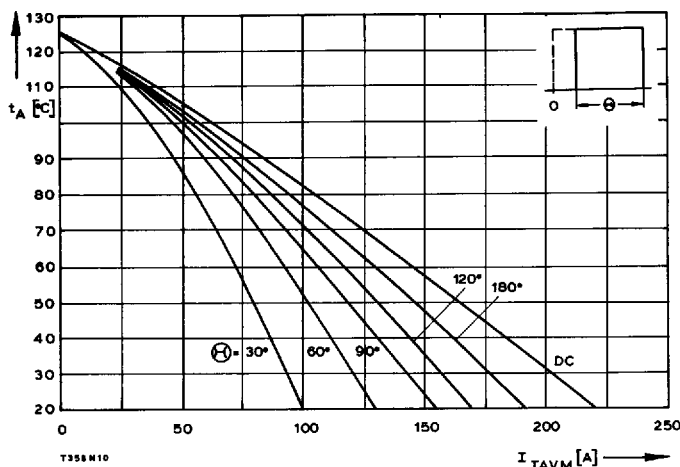
Bild/Fig. 9

Höchstzulässige Gehäusetemperatur  $t_C$  bei beidseitiger Kühlung  
Maximum allowable case temperature  $t_C$  at two-sided cooling



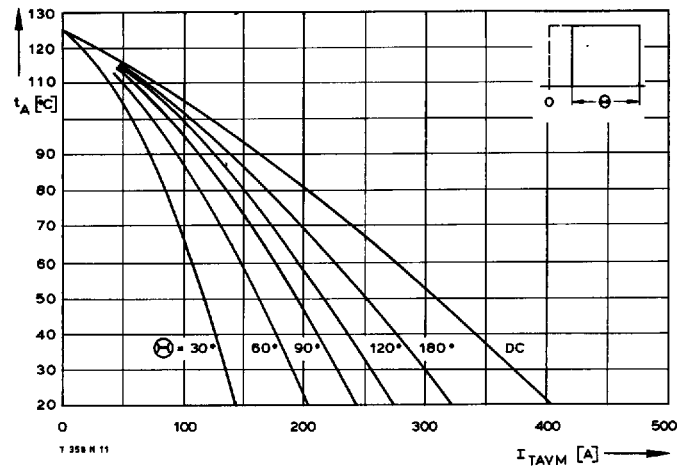
Bild/Fig. 10

Höchstzulässige Gehäusetemperatur  $t_C$  bei anodenseitiger Kühlung  
Maximum allowable case temperature  $t_C$  at anode sided cooling



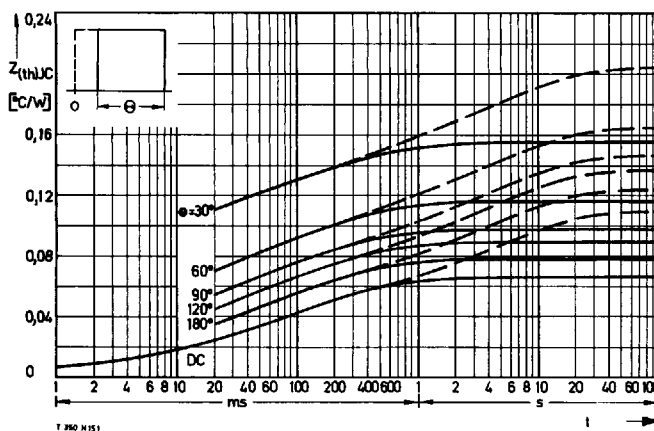
Bild/Fig. 11

Höchstzulässige Kühlmitteltemperatur  $t_A$  bei beidseitiger Luftselbstkühlung,  
Kühlkörper K 0,36 S.  
Maximum allowable cooling medium temperature  $t_A$  at natural two-sided cooling,  
heatsink type K 0.36 S.



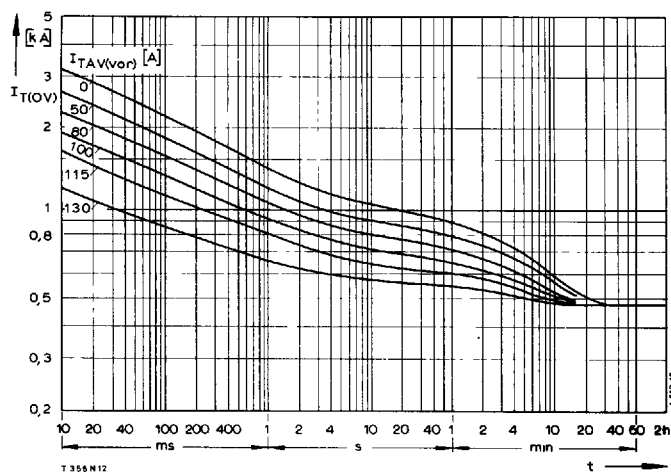
Bild/Fig. 12

Höchstzulässige Kühlmitteltemperatur  $t_A$  bei verstärkter beidseitiger Luftkühlung,  
Kühlkörper K 0,12 F,  $V_L = 50$  l/s.  
Maximum allowable cooling medium temperature  $t_A$  at forced two-sided cooling,  
heatsink type K 0.12 F,  $V_L = 50$  l/s.



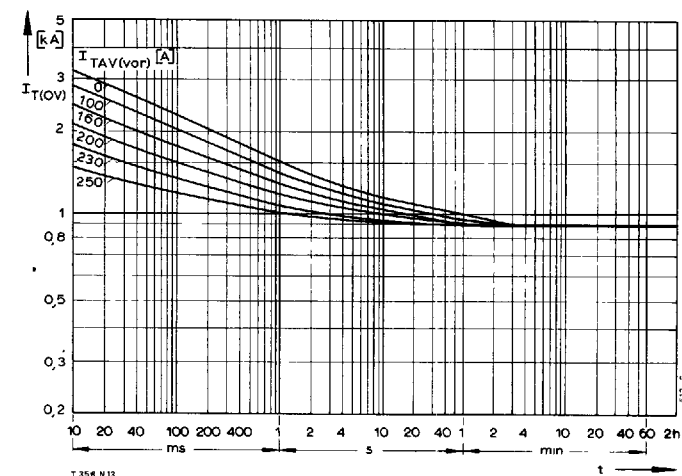
Bild/Fig. 13

Transient thermal impedance, junction case,  $Z_{th(jc)}$   
 - - - anodenseitige Kühlung/anode sided cooling  
 ————— beidseitige Kühlung/two-sided cooling



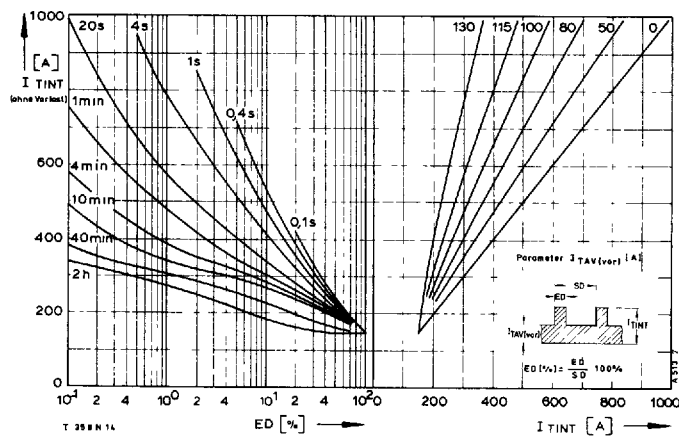
Bild/Fig. 14

Überstrom  $I_{TOV}$  bei beidseitiger Luftselbstkühlung,  $t_A = 45^{\circ}\text{C}$ ,  
 Kühlkörper K 0.36 S.  
 Overload on-state current  $I_{TOV}$  at natural two-sided cooling,  $t_A = 45^{\circ}\text{C}$ ,  
 heatsink type K 0.36 S.  
 Parameter: Vorlaststrom/pre-load current  $I_{TAV(vor)}$



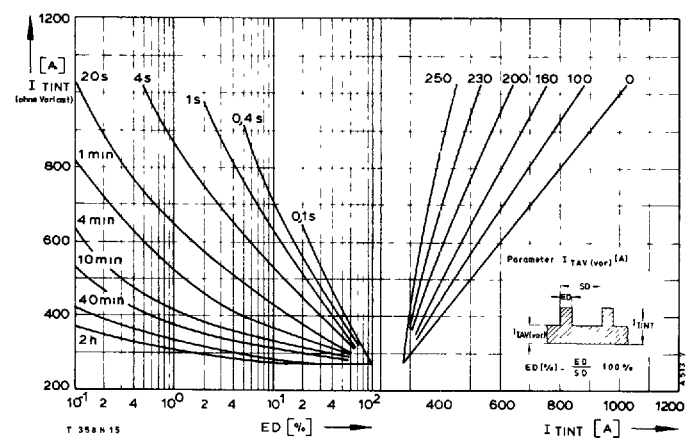
Bild/Fig. 15

Überstrom  $I_{TOV}$  bei verstärkter beidseitiger Luftkühlung,  $t_A = 35^{\circ}\text{C}$ ,  
 Kühlkörper K 0.12 F,  $V_L = 50 \text{ l/s}$ .  
 Overload on-state current  $I_{TOV}$  at forced two-sided cooling,  $t_A = 35^{\circ}\text{C}$ ,  
 heatsink type K 0.12 F,  $V_L = 50 \text{ l/s}$ .  
 Parameter: Vorlaststrom/pre-load current  $I_{TAV(vor)}$



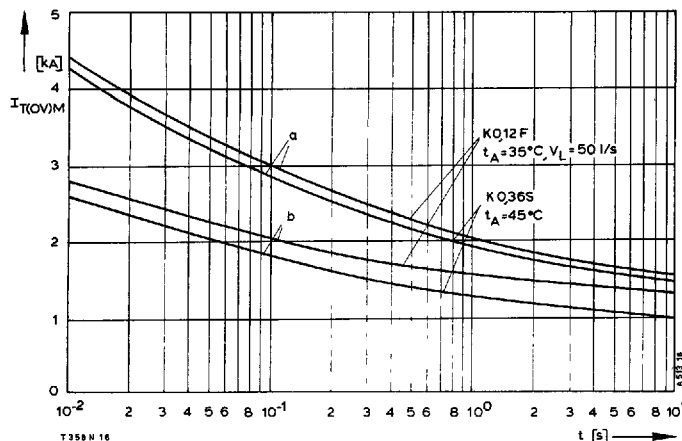
Bild/Fig. 16

Höchstzulässiger Durchlaßstrom  $I_{TINT}$  bei Aussetzbetrieb und beidseitiger  
 Luftselbstkühlung,  $t_A = 45^{\circ}\text{C}$ , Kühlkörper K 0.36 S.  
 Limiting on-state current  $I_{TINT}$  during intermittent operation at natural two-sided  
 cooling,  $t_A = 45^{\circ}\text{C}$ , heatsink type K 0.36 S.  
 Parameter: Spieldauer/cycle duration SD  
 Vorlaststrom/pre-load current  $I_{TAV(vor)}$



Bild/Fig. 17

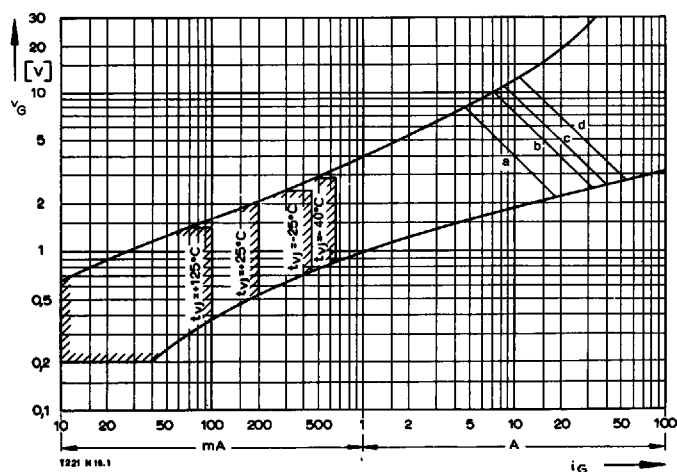
Höchstzulässiger Durchlaßstrom  $I_{TINT}$  bei Aussetzbetrieb und verstärkter  
 beidseitiger Luftkühlung,  $t_A = 35^{\circ}\text{C}$ , Kühlkörper K 0.12 F,  $V_L = 50 \text{ l/s}$ .  
 Limiting on-state current  $I_{TINT}$  during intermittent operation at forced two-sided  
 cooling,  $t_A = 35^{\circ}\text{C}$ , heatsink type K 0.12 F,  $V_L = 50 \text{ l/s}$ .  
 Parameter: Spieldauer/cycle duration SD  
 Vorlaststrom/pre-load current  $I_{TAV(vor)}$



Bild/Fig. 18

Grenzstrom  $I_{T(OV)M}$  bei beidseitiger Kühlung, Kühlkörper K 0,36 S und K 0,12 F, $V_{RM} = 0,8 V_{RIM}$ .Limiting overload on-state current  $I_{T(OV)M}$  at two-sided cooling,heatsink type K 0.36 S and K 0.12 F,  $V_{RM} = 0.8 V_{RIM}$ .

a - Belastung aus Leerlauf/current surge under no-load conditions

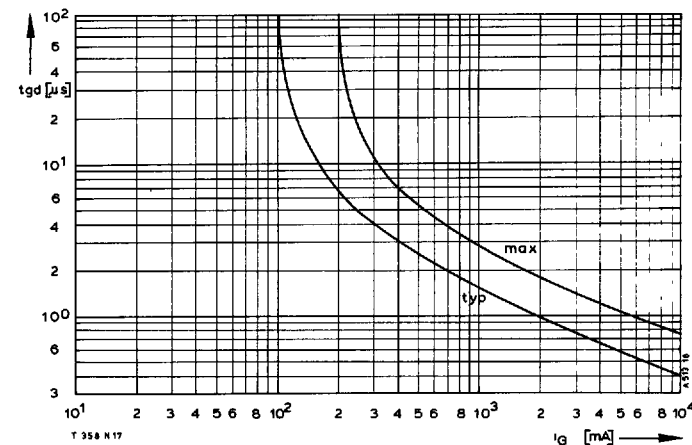
b - Belastung im Anschluß an Betrieb mit Dauergrenzstrom  $I_{TAVM}$ /  
current surge occurs during operation at limiting mean on-state current  
rating  $I_{TAVM}$ 

Bild/Fig. 19

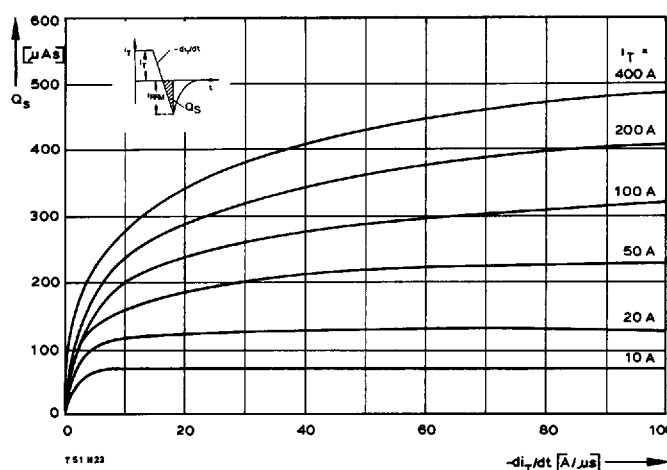
Zündbereich und Spitzesteuerleistung bei  $v_D \geq 6 \text{ V}$ .Gate characteristic and peak gate power dissipation at  $v_D \geq 6 \text{ V}$ .

Parameter:

	a	b	c	d	
Steuerimpulsdauer/Pulse duration $t_g$	[ms]	10	1	0,5	0,1
Höchstzulässige Spitzesteuerleistung/ Maximum allowable peak gate power	[W]	40	80	100	150



Bild/Fig. 20

Zündverzug  $t_{gd}$  bei  $i_{TM} = 100 \text{ A}$ ,  $t_{vj} = 25^\circ C$ .Gate controlled delay time  $t_{gd}$  at  $i_{TM} = 100 \text{ A}$ ,  $t_{vj} = 25^\circ C$ .

Bild/Fig. 21

Nachlaufladung  $Q_s$  in Abhängigkeit von der abkommunizierenden Stromteilheit $-di_f/dt$  bei  $t_{vj} \text{ max}$ .Lag charge  $Q_s$  versus the rate of decay of the forward on-state current  
 $-di_f/dt$  at  $t_{vj} \text{ max}$ .